





Moderne LC/LC-MS-Verfahren zur Online-Analyse biotechnologischer Prozesse

Astrid Rehorek





Inhalte

- 1. Prozessanalysentechnik in der Biotechnologie
- 2. Online-Einzel- und Mehrkomponentenanalyse
- 3. Online-LC/LC-MS-Beispiele
 - Online-Kontrolle eines Kläranlagenzulaufs
 - Online-Monitoring in einem anaerob/aeroben Bioreaktor zur Ermittlung von optimalen Prozessführungsparametern
 - Multi-Analyser Bioreaktorsystem





Bioprozessanalysenmesstechnik

Analysator	Einsatz
UV-VIS Spektrometer (UV-VIS)	Insitu- und Online-Monitoring in der flüssigen Phase
Fluoreszens-Spektroskopie	Zellkonzentrationsmessung, Zellmetabolismus
Nuklear-Magnetische-Resonaz-Spektroskopie (NMR)	Zellmetabolismus
Fourier-Transformations-Nahinfrarot-Spektrometer (FT IR)	Insitu-Monitoring in komplexen Matrizes, z.B. Fettsäuren in Bioreaktoren
Nah-Infrarot-Spektrometer (NIR)	Gasanalyse
Fourier-Transformations-Mikrowellen-Spektrometer (FT MW)	Gasanalyse (Ozon)
<u>Biosensoren</u> (Kombination eines Mikroorganismus, Antikörpers, Enzyms, etc. mit einem Messumformer)	In-Situ-Einsatz zellfreier Lösungen, "Realzeit"-signale bei hoherSelektivität





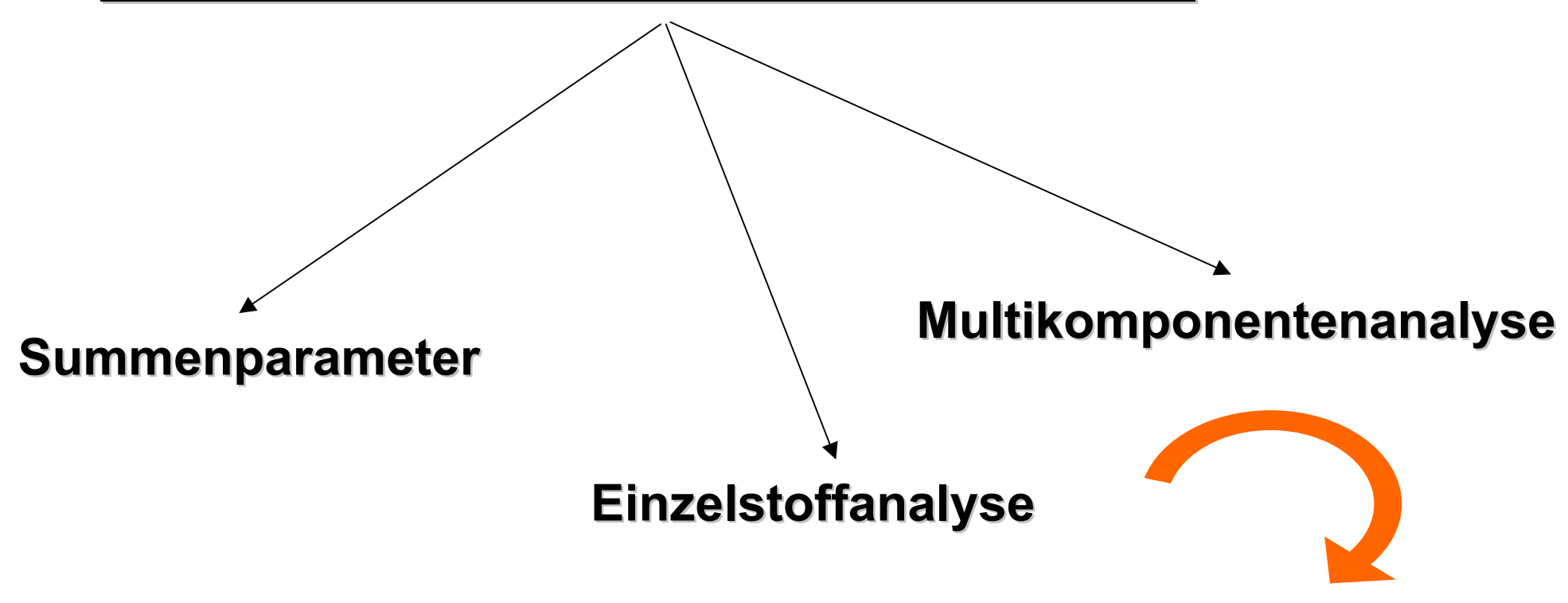
Online messbare abwasserrelevante Summenparameter

Messaufgabe	Online-Methode
pH-Wert TOC/VOC	Potentiometrische Methode Katalytische Verbrennung mit IR-Detektion (mit VOC-Kanal), Verdünnung und Filterung; UV-VIS
TN	Verbrennungs-/Chemilumineszenz-Methode
CSB	Oxidierung mit Ozon - Sensorische Sauerstoffmessung in der Gasphase, Elektrochemisch, Spektroskopisch
BSB	Erfassung als Kurzzeit-BSB (Respirationsrate)
DOC	Reinstwasser DOC (UV-Zersetzung und Leitfähigkeitsmessung)
UV-VIS	(inline) Xenon Blitzlampe mit DAD, Fiberoptische Spektrometer





Online-Analytik biotechnologischer Prozesse

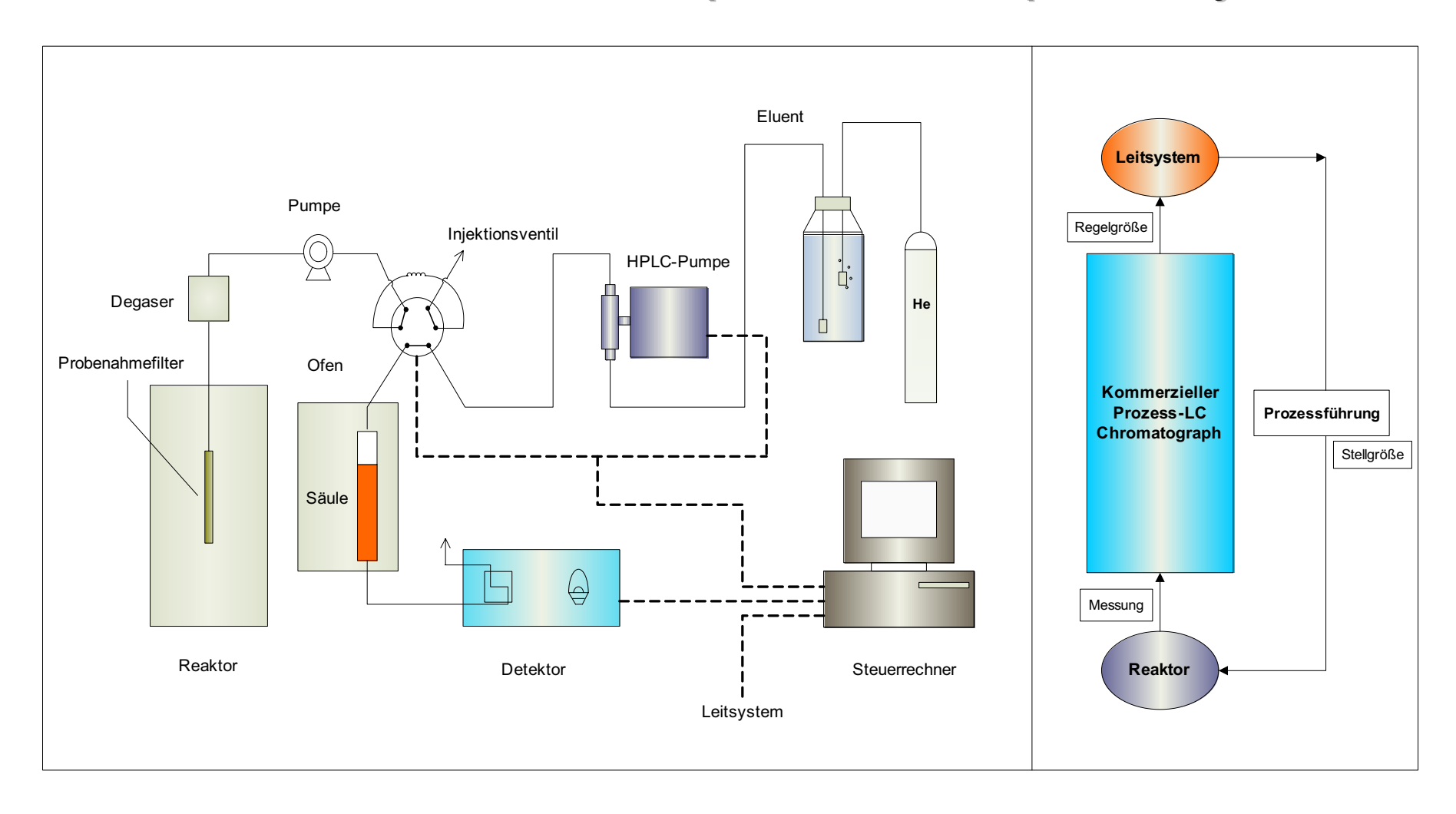


Ziel: Vordefinierte Produktqualität





Prozess-Flüssigchromatographen: Modulare HPLC-Betriebsmessplätze oder Komplett-Analysatoren







Kommerzielle LC-Prozesschromatographen

Hersteller	Bezeichnung	Detektoren	Anwendungsgebiete
Bayer Technology Services	Baychro <i>MAT</i> ® (GC, HPLC, GPC)	Verschiedene Detektoren	Bestimmung der Molmasse in Polymeranlagen, Prozesskontrolle, Nebenkomponenten im ppm-Bereich, Isomerenbestimmung
Dionex	DX 800 Prozesschromatograph (LC)	UV-, Leitfähigkeits-, und elektrochemischer Detektor	Spurenbest. in Reinstwasser, org. Säuren bei Nylonherstellung, Nitrit/Nitrat Kläranlage, Fermenter- Monitoring





Ionenchromatographischer Process-LC-Analysator der Firma *DIONEX*





DX-800





Modulare LC/LC-MS Prozessanalysentechnik

Automatisierte, kontinuierliche Online-Probenahmetechniken

Sedimentation/Porenfiltration

Automatisierte SPE/ SPME

Mikro- u. Ultrafiltration

Membranextraktion







Online-Kontrolle eines Kläranlagenzulaufs

Etablierung eines automatisierten
Online-Analysensystems,
das die Kläranlage und damit die Umwelt
vor Stoßbelastungen durch
plötzliche, hohe Stoffemissionen
von organischen Einzelkomponenten schützt.

Mit freundlicher Genehmigung der BASF, Dr. Kurz

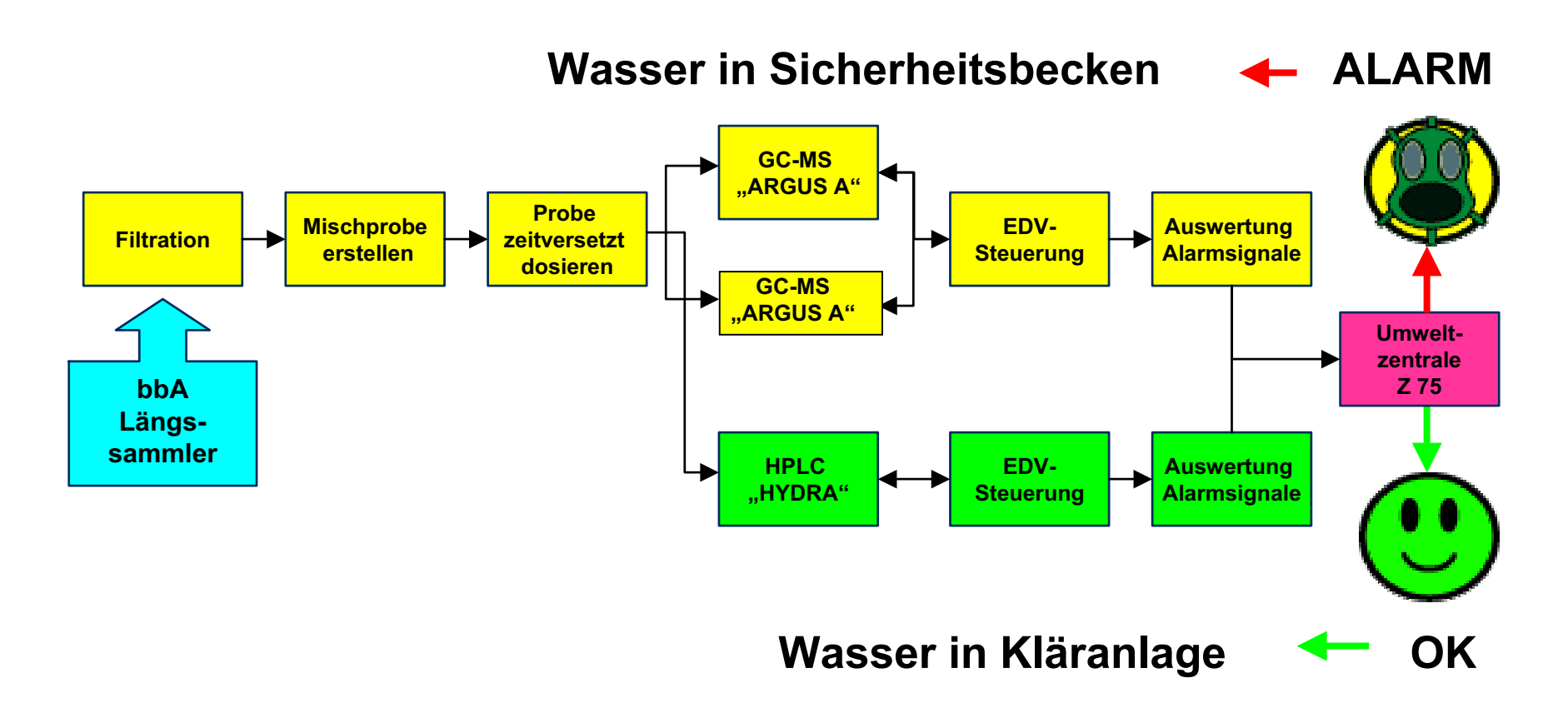






Konzeption der BASF- Kläranlagen-Online-Überwachung:

ARGUS und HYDRA



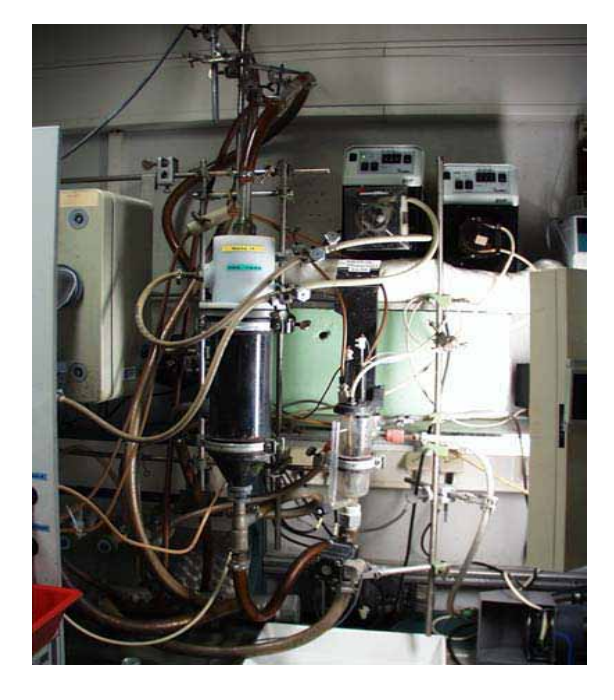






Probenvorbereitung für ARGUS und HYDRA

Sandfang



Bandfilter



Vorlage









Prinzip von ARGUS / HYDRA

ARGUS:

- Prinzip: GC/MS-Analyse mit Wasserdirektinjektion
- gaschromatographisch erfassbare Stoffe
- Messzyklus ca. 40 min (effektiv 20 min; 2 Geräte)
- 130 Stoffe kalibriert
- Arbeitsbereich: 1-100 mg/L

HYDRA:

- Prinzip: Ionenpaarchromatographie mit Dioden-Arrayund Fluoreszenz-Detektion
- polare und höhermolekulare Stoffe
- Messzyklus: 20 min
- ca. 45 Stoffe kalibriert
- Arbeitsbereich: 0,1-20 mg/L (sehr stoffspezifisch)









ARGUS

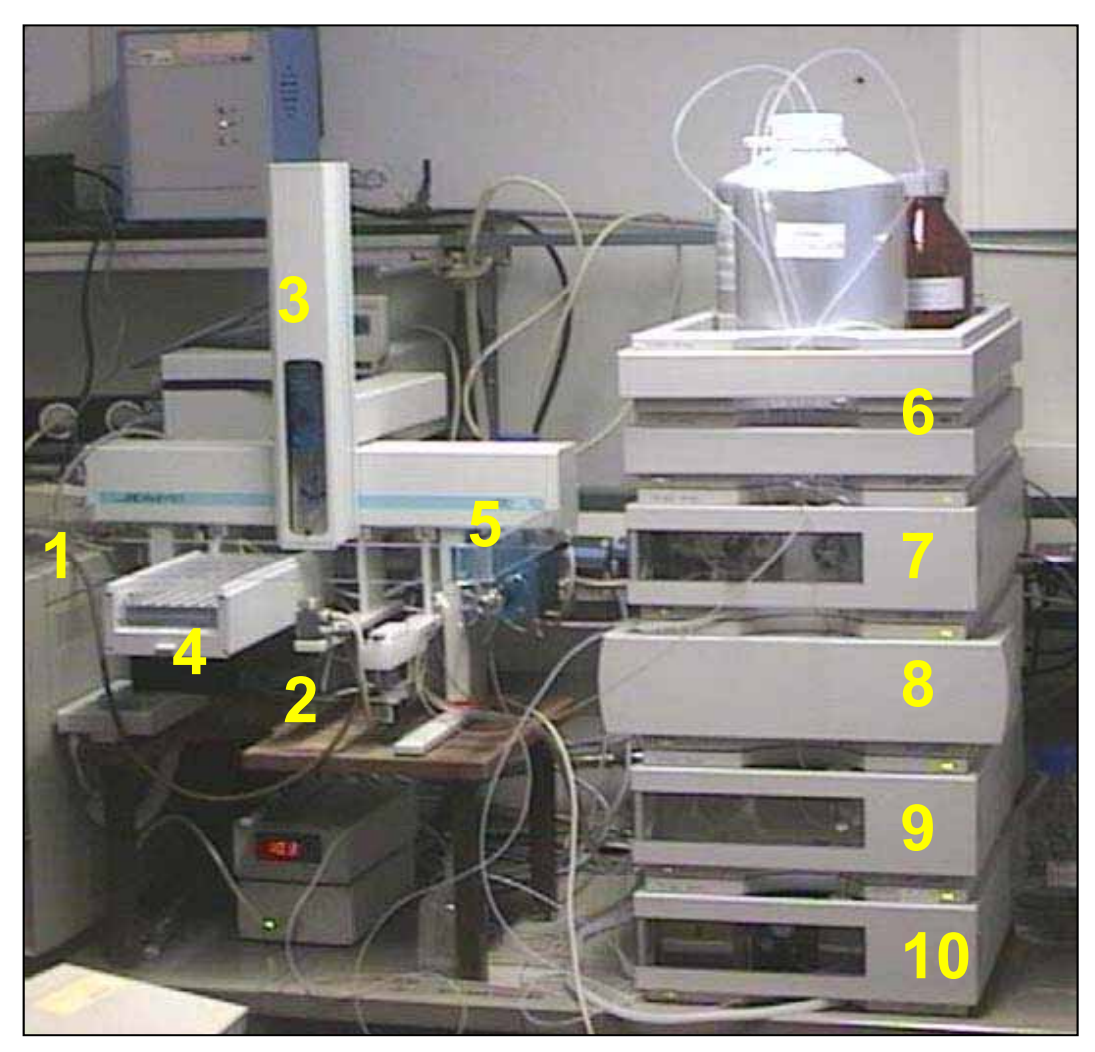
BASF





HYDRA

- 1 Probezufuhr
- 2 Durchflußzelle
- 3 Injektionsspritze
- 4 Testlösungen
- 5 Injektionsventil
- 6 Laufmittel + Entgaser
- 7 Pumpe
- 8 Säulenofen
- 9 Dioden-Array-Detektor
- 10 Fluoreszenz-Detektor









Ferndiagnose-Tools

- a) Fern-Zugriff auf Chromatogramme und Reports über das Internet mit Bereitschaftsdienst-Laptop
- b) Fernsteuerung der Geräte
- Web-Cam zur visuellen Beurteilung von Fehlfunktionen und Anleitung bei Reparaturen
- d) Fehlermeldung nach Auswertung der Qualitätskriterien werden als SMS auf Bereitschaftsdienst-Handy übertragen





Summary: ARGUS und HYDRA

- ARGUS und HYDRA überwachen kontinuierlich den Zulauf der Kläranlage auf ca. 200 organische Einzelstoffe.
- Systeme laufen seit mehreren Jahre mit nahezu 100%-iger Verfügbarkeit ARGUS: seit 1992, ca. 350.000 Analysen

HYDRA: seit 2001, ca. 100.000 Analysen

- Zentrale Überwachung ist billiger als Einzelüberwachung in den Betrieben.
- Bei mehreren Einleitern werden kumulative Effekte berücksichtigt.
- Systeme werden auch zum Abwassermanagement benutzt.







Unerwünschter Farbe auf der Spur –

LC-MS-Monitoring zur Prozessoptimierung der biologischen Behandlung von Farbabwasserkonzentraten

Gefördert duch



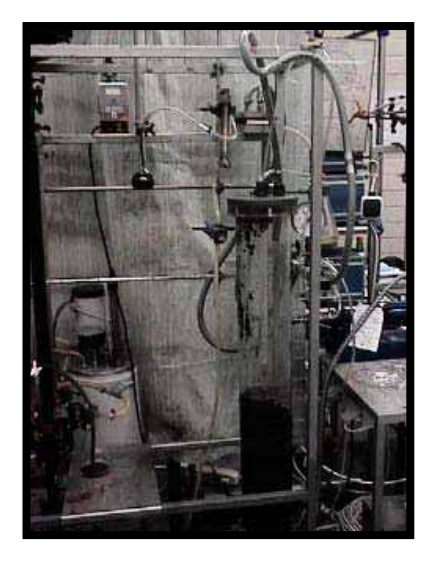


Entwicklung von anaerob/aeroben Bio-Membran-Reaktoren für die Behandlung von textilen Azofarbstoff-Abwasserkonzentraten



1998-1999

- 3-Liter anaerob/aerobe BMR (ungekoppelt)
- Offline-UV/VIS Spektroskopie
- Offline pH -Messung



2000-2001

- 10-Liter gekoppeltes anaerob/aerobes BMR-System
- Online-UF-LC-DAD-Monitoring
- Online-RI-Monitoring
- Offline pH-&
 Redoxmessung



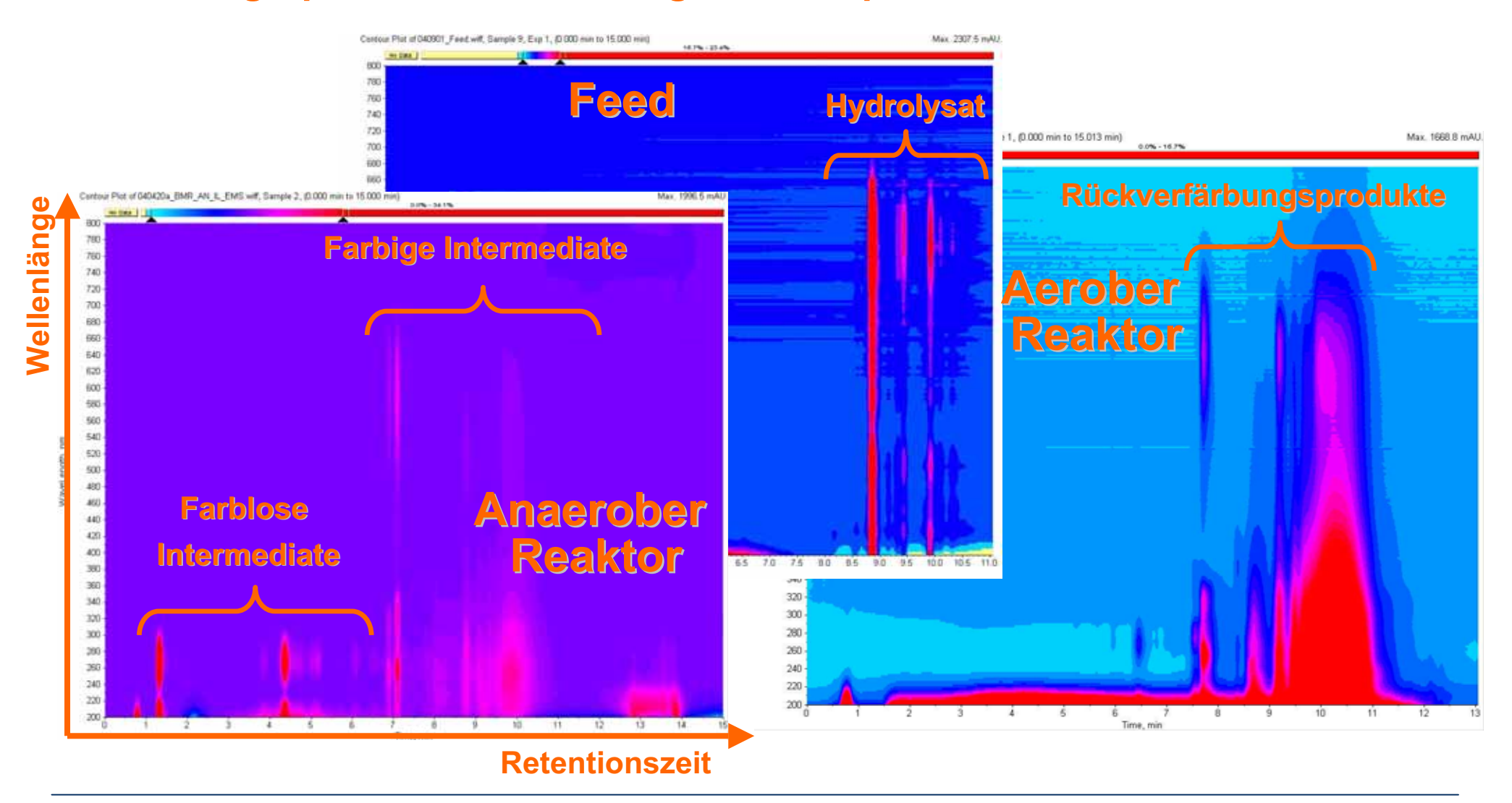
2002-2005

- 40-Liter anaerob/aerob BMR-System
- Automat. Messdatenerfassung+Steuerung
- Online-MF-HPLC-DAD-Spektroskopie





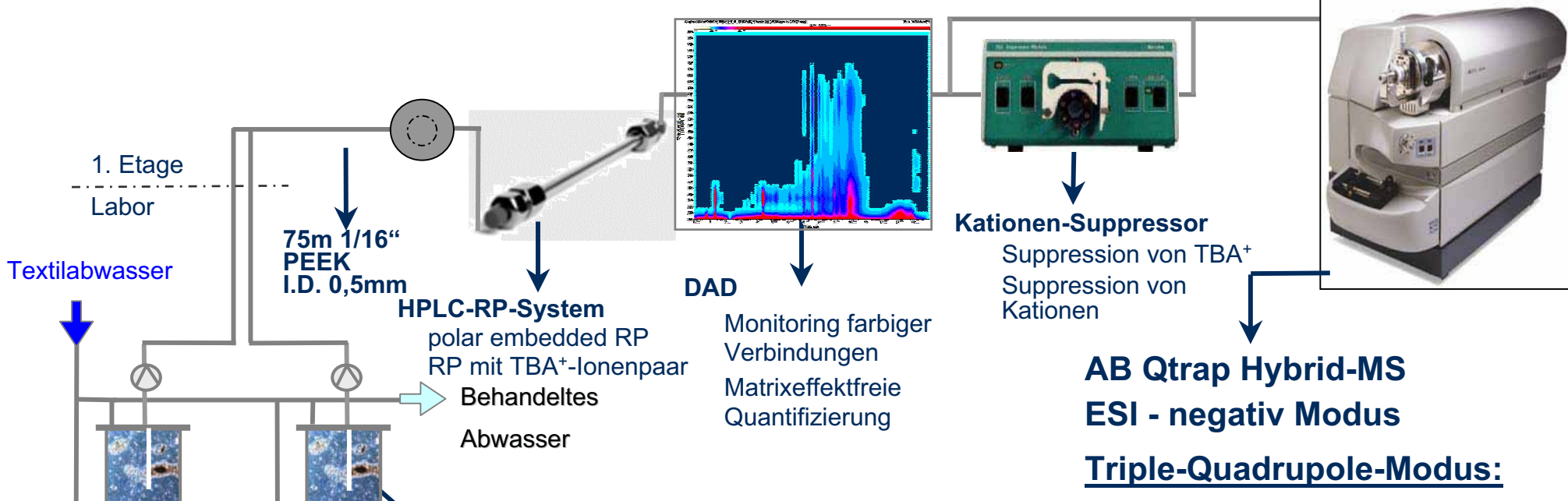
Chromatographische Auftrennung von Realproben







Set-up und Methodenentwicklung des massenspektroskopischen Verfahrens: Online-MF-HPLC-DAD-IC-ESI-MS²- Analysenverfahren



Kontinuierliche Probenahme mit

Inline-Mikrofiltrationssonde

Zweistufiger anaerob/aerober Bioreaktor (2 x 40L)

Selektive und empfindliche Quantifizierung mit MRM

IonTrap-Modus:

Enhanced (E) MS-Scans: EMS, EPI, EMC, MS³ für die Strukturanalyse



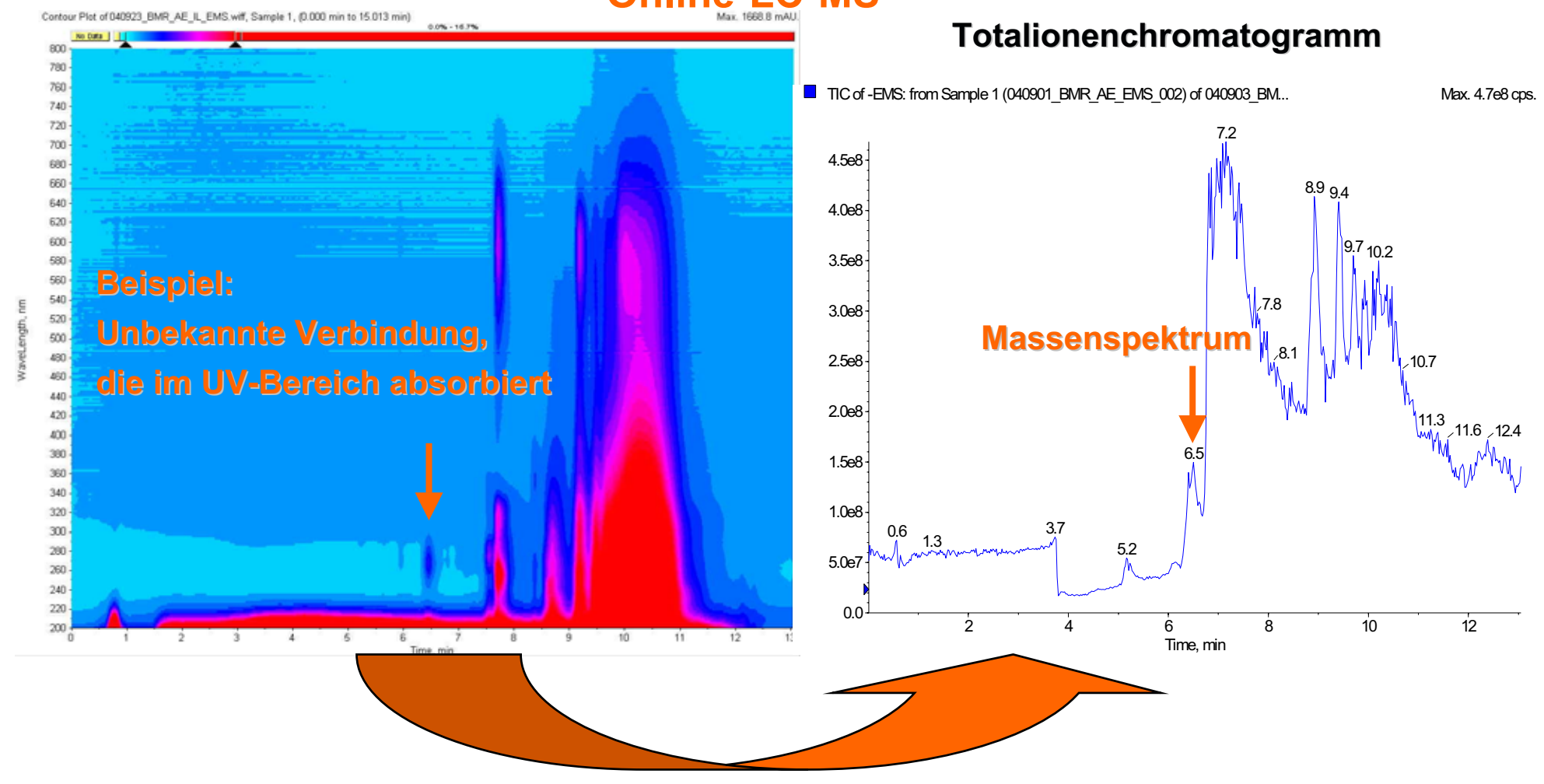


Strukturaufklärung von Azofarbstoffintermediaten mittels Online-LC-MS² aus Realmatrix

- Charakterisierung von primären und sekundären Verbindungen hydrolysierter Reaktiver Farbstoffe im <u>Feed</u> (Reaktorzulauf aus Realmatrixabwasser)
- Identifizierung von primären Abbauprodukten der anaeroben und aeroben biologischen Behandlung mittels Online-LC-MS² im Klärschlamm
- Strukturaufklärung durch Interpretation von Fragmentierungsmustern erzeugt aus negativen und positiven lonen



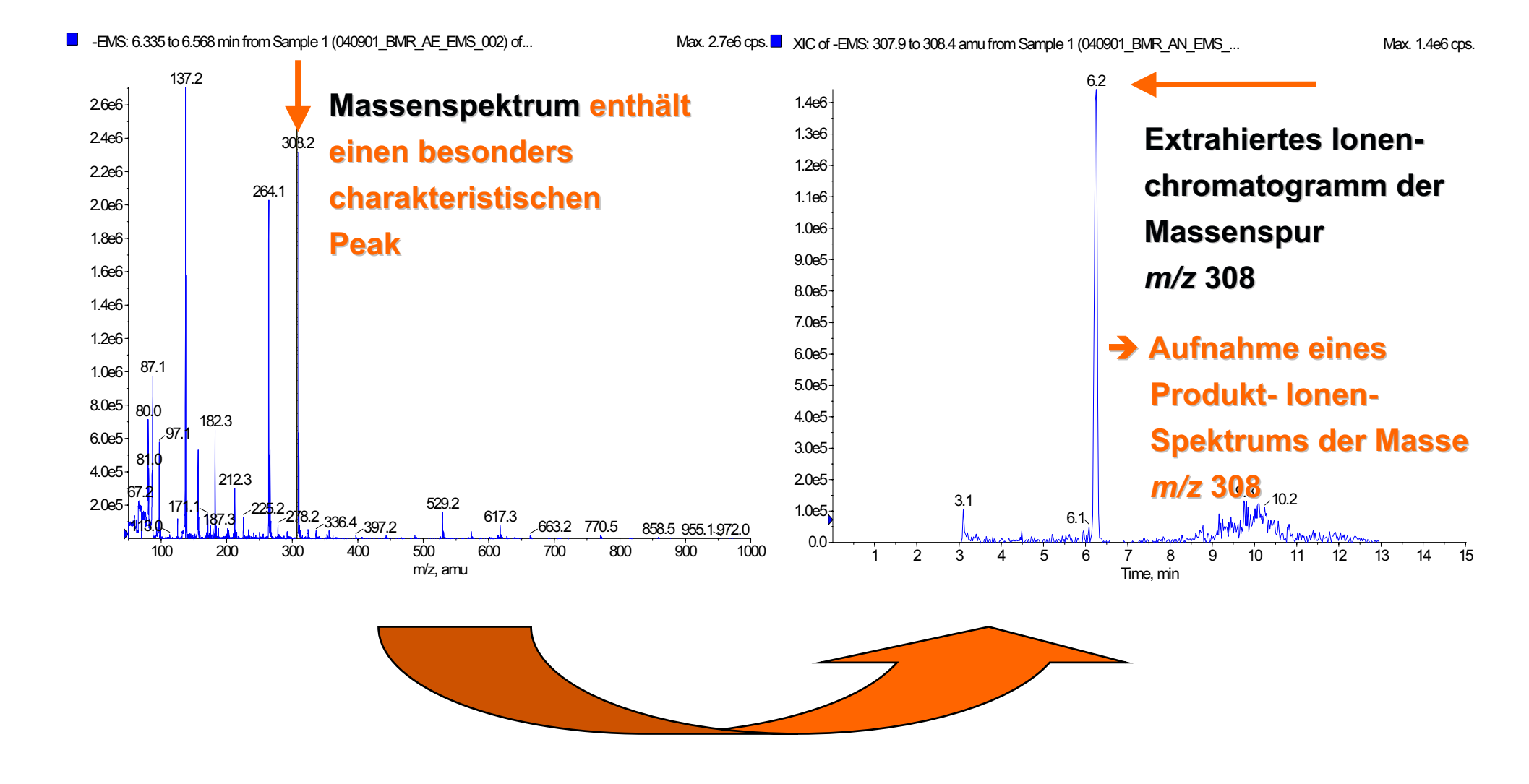
Identifizierung von Farbabbau-Intermediaten aus Realmatrix durch Online-LC-MS



ESI(-)-MS-Scan 50-1700 amu



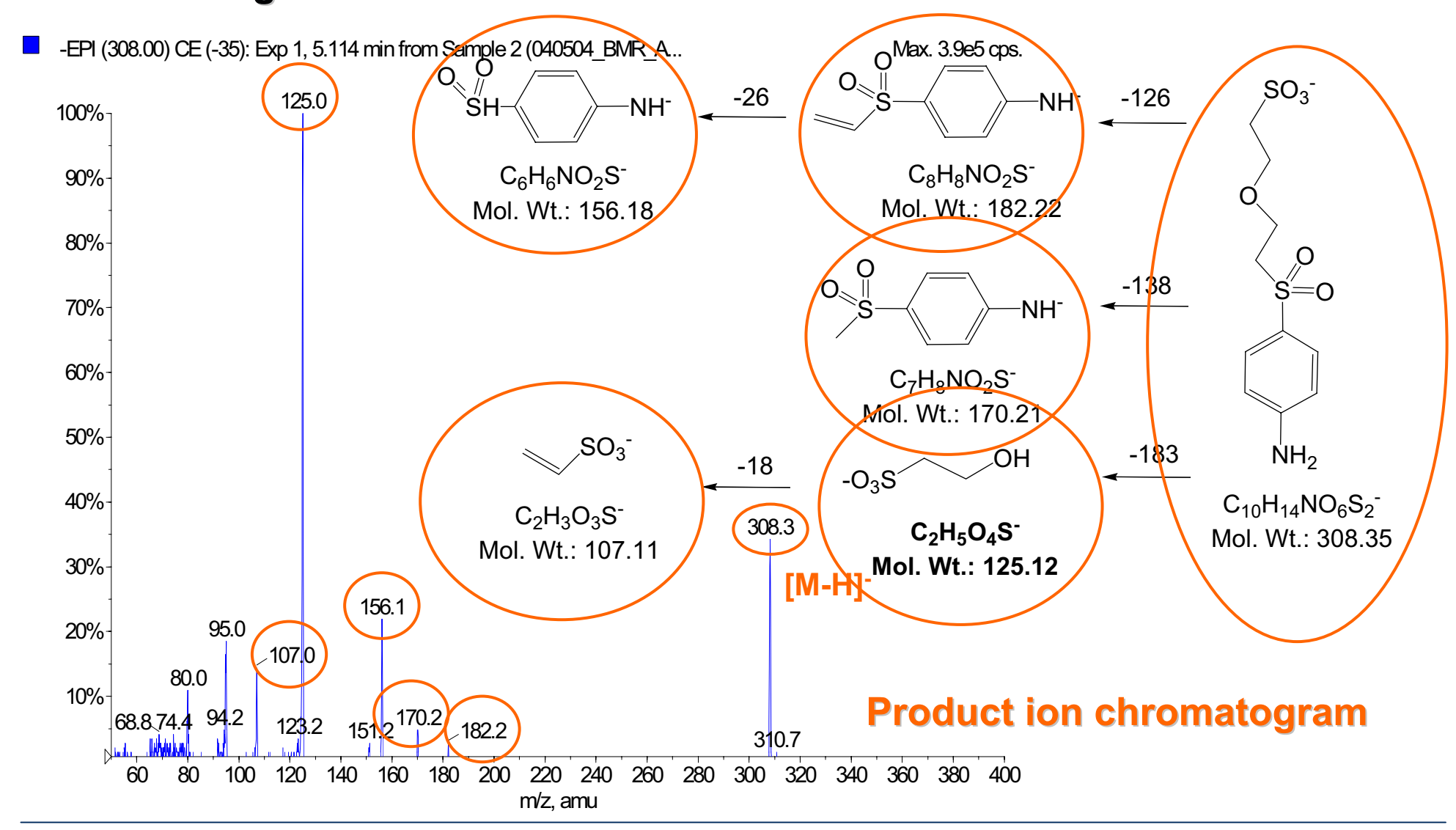








Identifizierung eines Intermediats aus Realmatrix durch Online-LC-MS

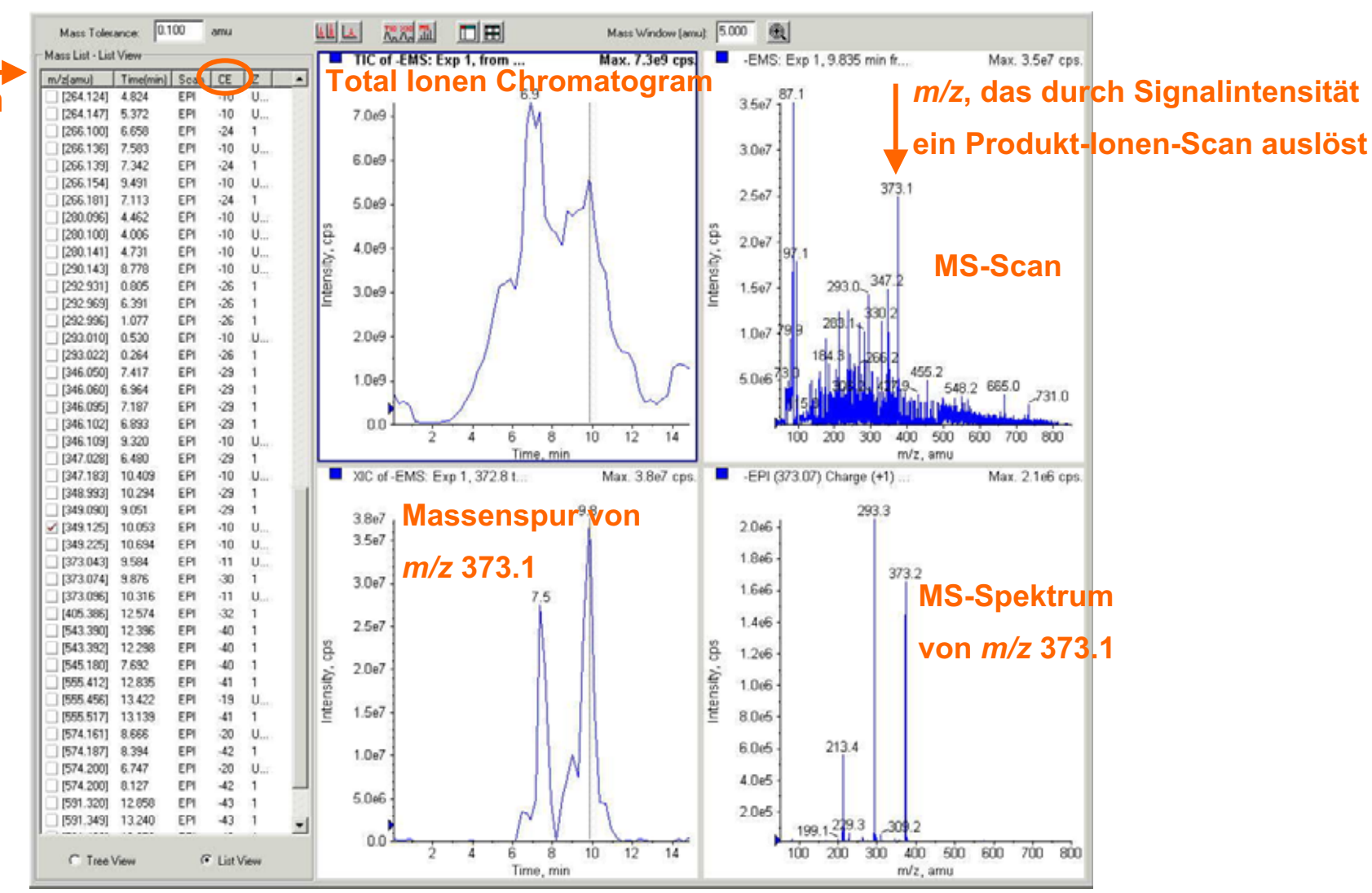






Information Dependent Aquisition - IDA

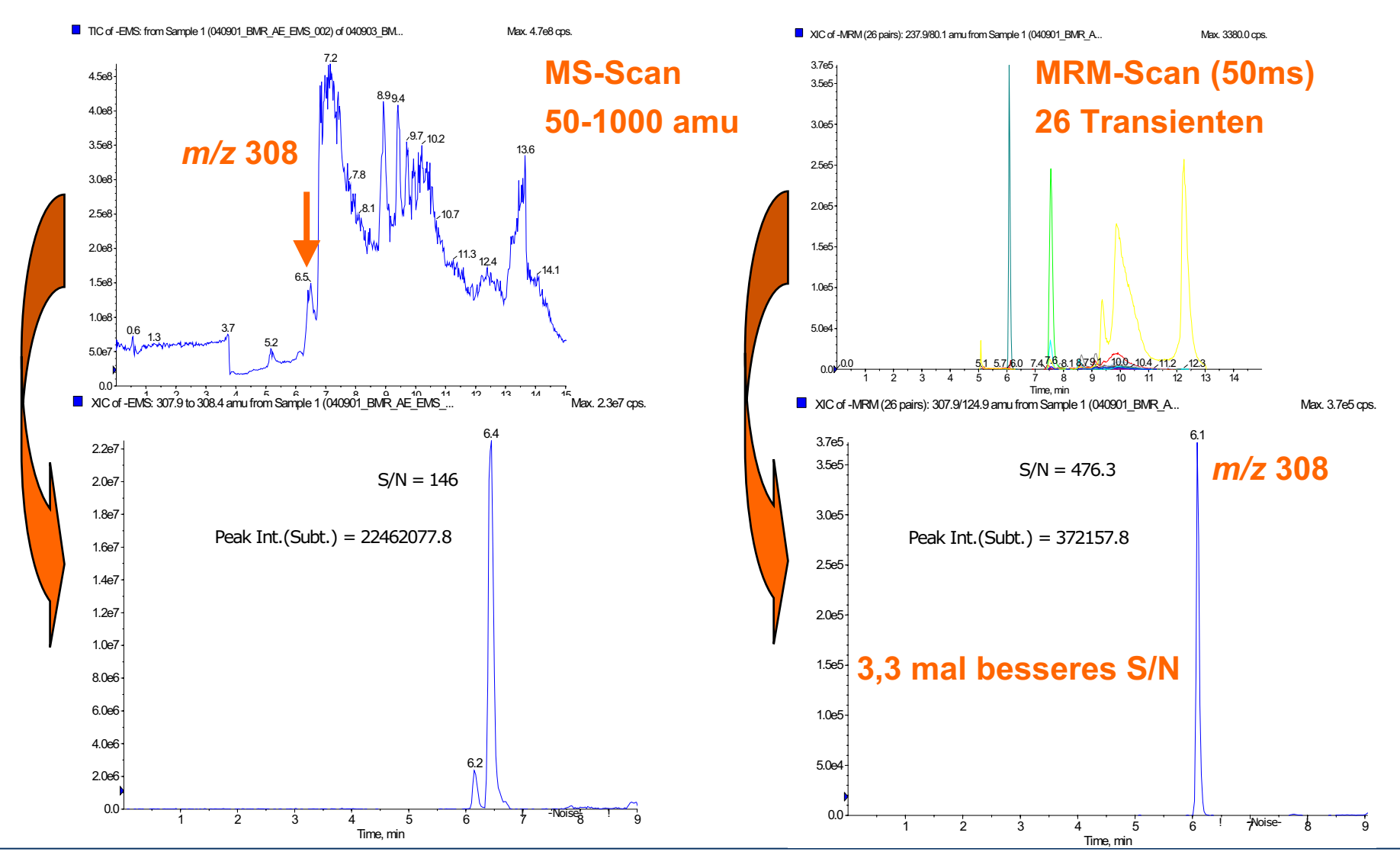
Liste von Ionen mit *m/z*,
Retentionszeit und Kollisionsenergie von denen automatisch ein Produkt-Ionen-Scan aufgenommen wurde.







Hochselektives Monitoring von Intermediaten im MRM-Modus











Methodenvalidierung mittels simulierter Farbabwässer in Salzlösung

c = μM, n=5	РВ	Metanilsäure	RO107-H	TAHNDS _{DP2}	H-Säure	RB-OH	RB5-H	
MW	201	173	442	348	319	532	743	
RT (min)	2.2	5.4	7.1	7.3	7.5	7.8	8.0	
Q1 (amu)	200	171.8	441	346.9	317.8	264.6	370.5	
Q3 (amu)	107.9	80	186.1	187.1	237.8	80	370.6	
DP (V)	-56	-51	-81	-61	-151	-31	-41	
EP (V)	-10	-10	-7	-9.5	-7.5	-8.5	-7	
CEP (V)	-13.52	-12	-22	-18	-16	-14	-18	
CE (V)	-28	-34	-66	-44	-36	-48	-8	
CXP (V)	0	0	-4	-4	-4	0	-4	
LOD (MRM)	***n.b.	0.59	0.001	0.001	0.010	0.003	0.012	
LLOD (MRM)	-	4.88	0.610	0.153	0.122	4.88	1.22	
ULOD (MRM)	-	78.1	625	78	7.81	313	313	
r ² *,**	-	*0.9953	*0.9977	*0.9985	*0.9927	*0.9989	*0.9982	
RSD (%)	-	7.8	6.1	7.0	6.8	6.2	4.7	
Wellenlänge (nm)	270	n.b.	n.b.	585	300	500	585	
LOD (UVVIS)	1.33	-	-	0.33	0.26	0.26	0.15	
LLOD (UVVIS)	9.77	-	-	4.88	15.6	2.44	0.61	
ULOD (UVVIS)	2500	-	-	625	500	625	625	
r ^{2*} ,**	*0.9997	-	-	*0.9996	*0.9997	*0.9993	*0.9991	
RSD (%)	3.1	-	-	3.6	8	4.1	7.0	

NWG (abs.) im pg-Bereich

RSD <10%

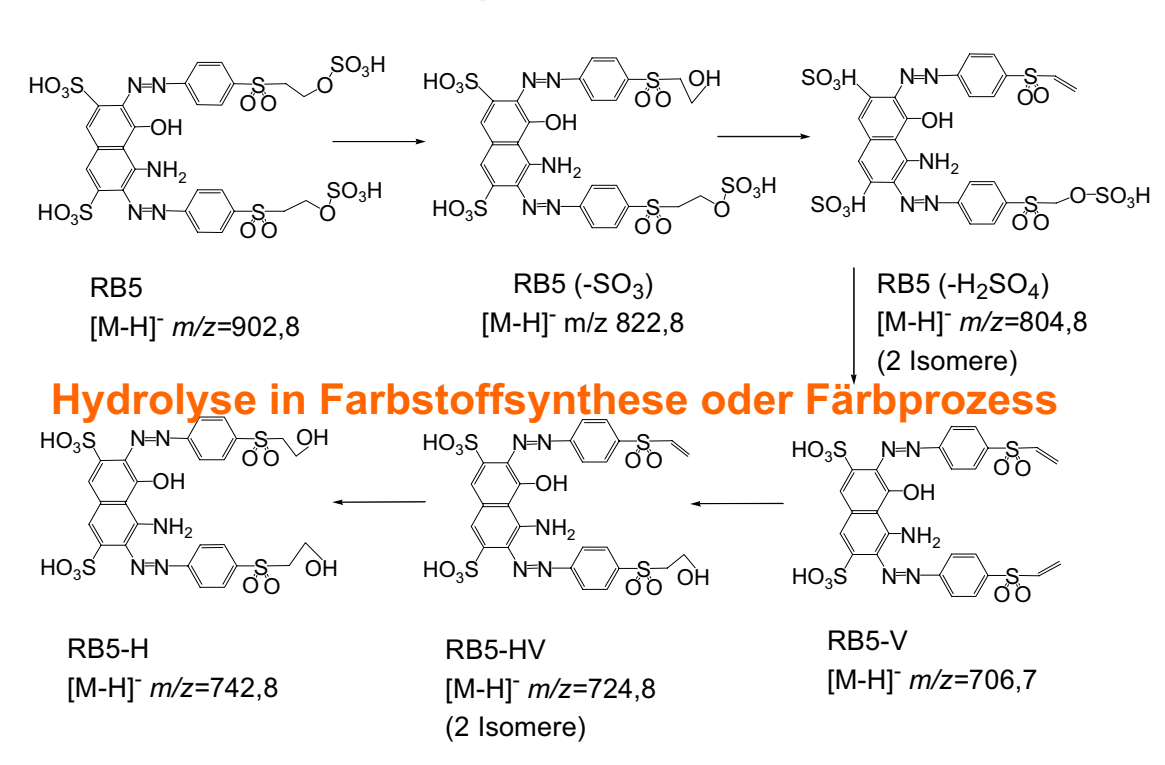
Lineare Messbereiche über
drei Dekaden,
hohe Linearität

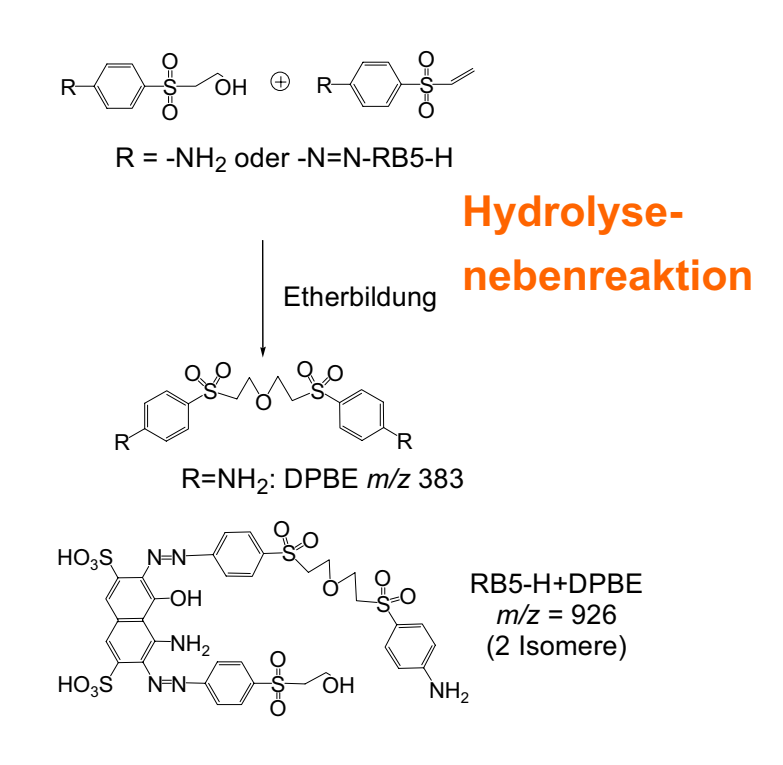
*quadratische Regression und x^{-1} -Wichtung **lineare Regression und x^{-1} -Wichtung ***n.b. - nicht be





MS-Identifizierung von Haupt- und Nebenkomponenten im Feed (RB5)



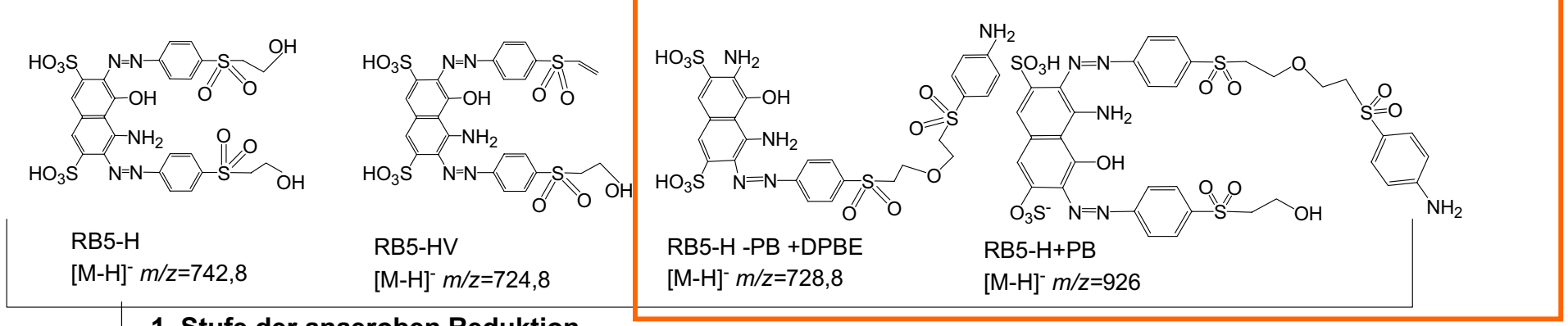


Nebenreaktionsprodukt aus Synthese oder Hydrolyse sowie weitere, noch nicht identifizierte Verbindungen (UNKs)



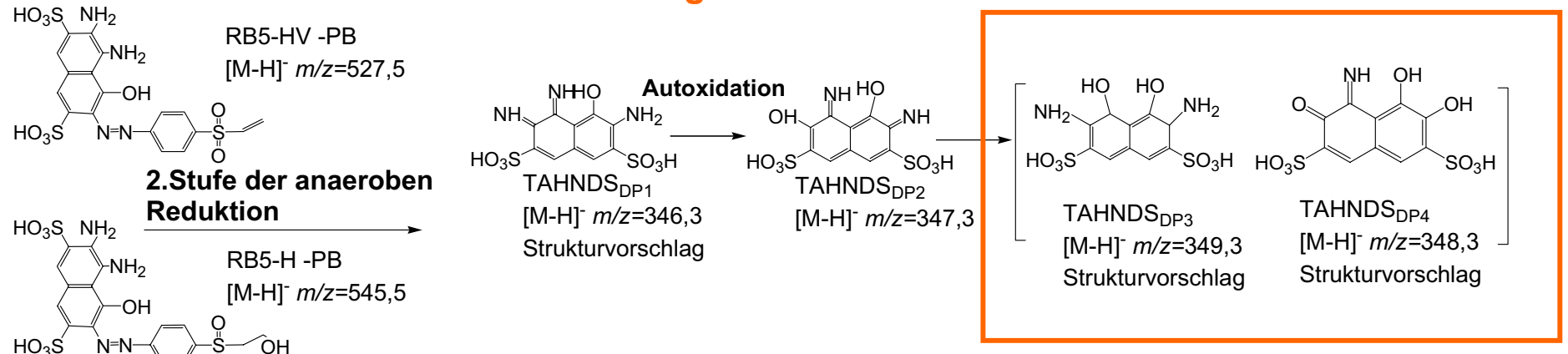


Identifizierung farbiger Intermediate mit Online-LC-DAD-MSMS



1. Stufe der anaeroben Reduktion

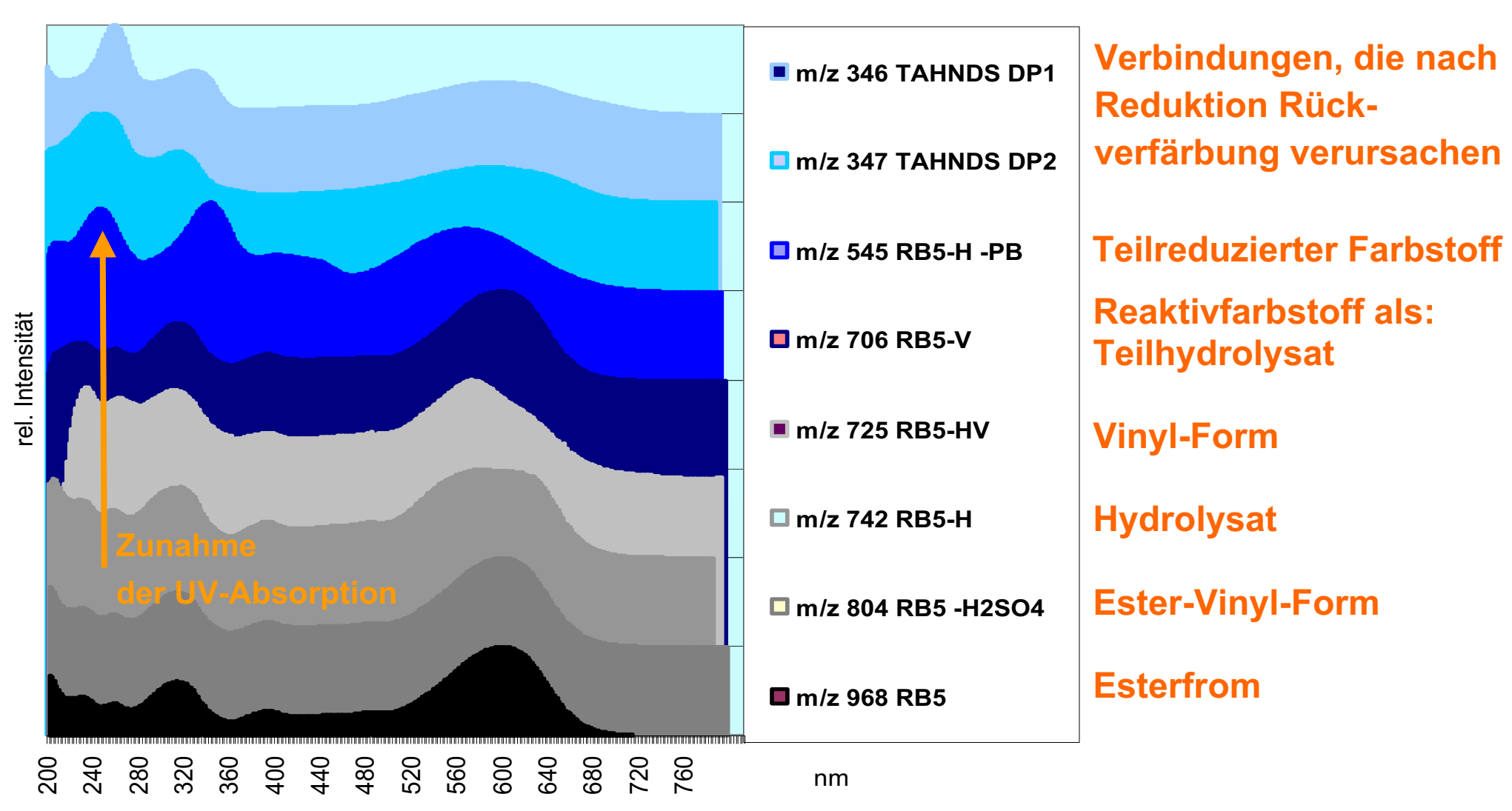
Neu identifizierte farbige Intermediate in Feed & Anaerob- & Aerob-Bioreaktor







Blaues Abwasser nach der Anaerobstufe - Reste von blauem Farbstoff?







Identifizierung nicht-farbiger Intermediate mit Online-LC-DAD-MSMS

Abbauprodukte, die bei der Reduktion von Reaktivfarbstoffen freigesetzt werden

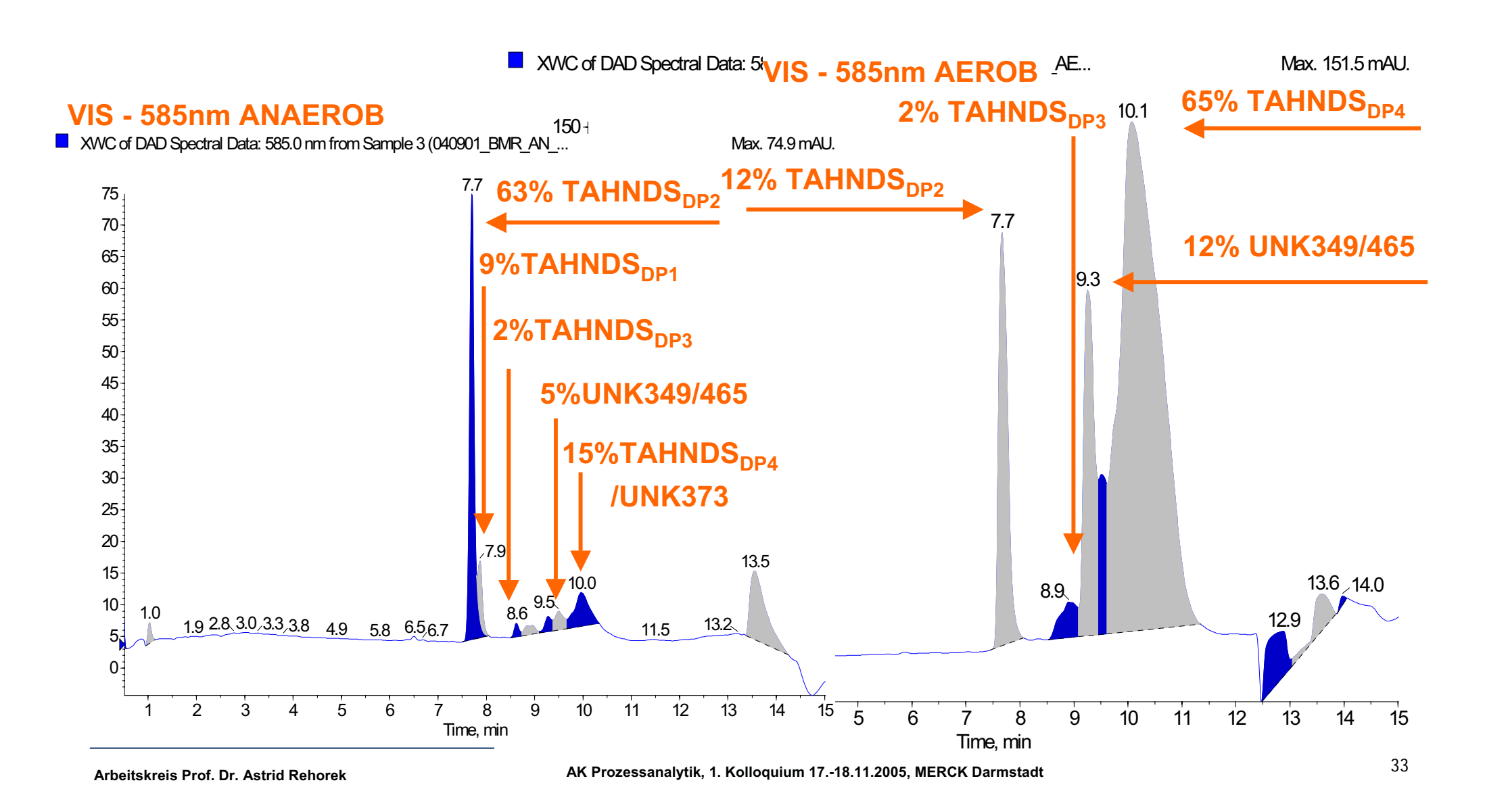
p-Base (PB) vinyl-p-Base (VPB) [M-H]⁻
$$m/z$$
=201,2 $[M-H]^ m/z$ =183,2 $[M-H]^ m/z$ =243,2 $[M-H]^ m/z$ =383,5

Neu identifizierte Abbauprodukte, die als Nebenkomponenten im Feed vorliegen oder bei der Reduktion von Farbstoffnebenkomponenten freigesetzt werden





Stoffspezifische Anteile an spektraler Extinktion im VIS-Bereich

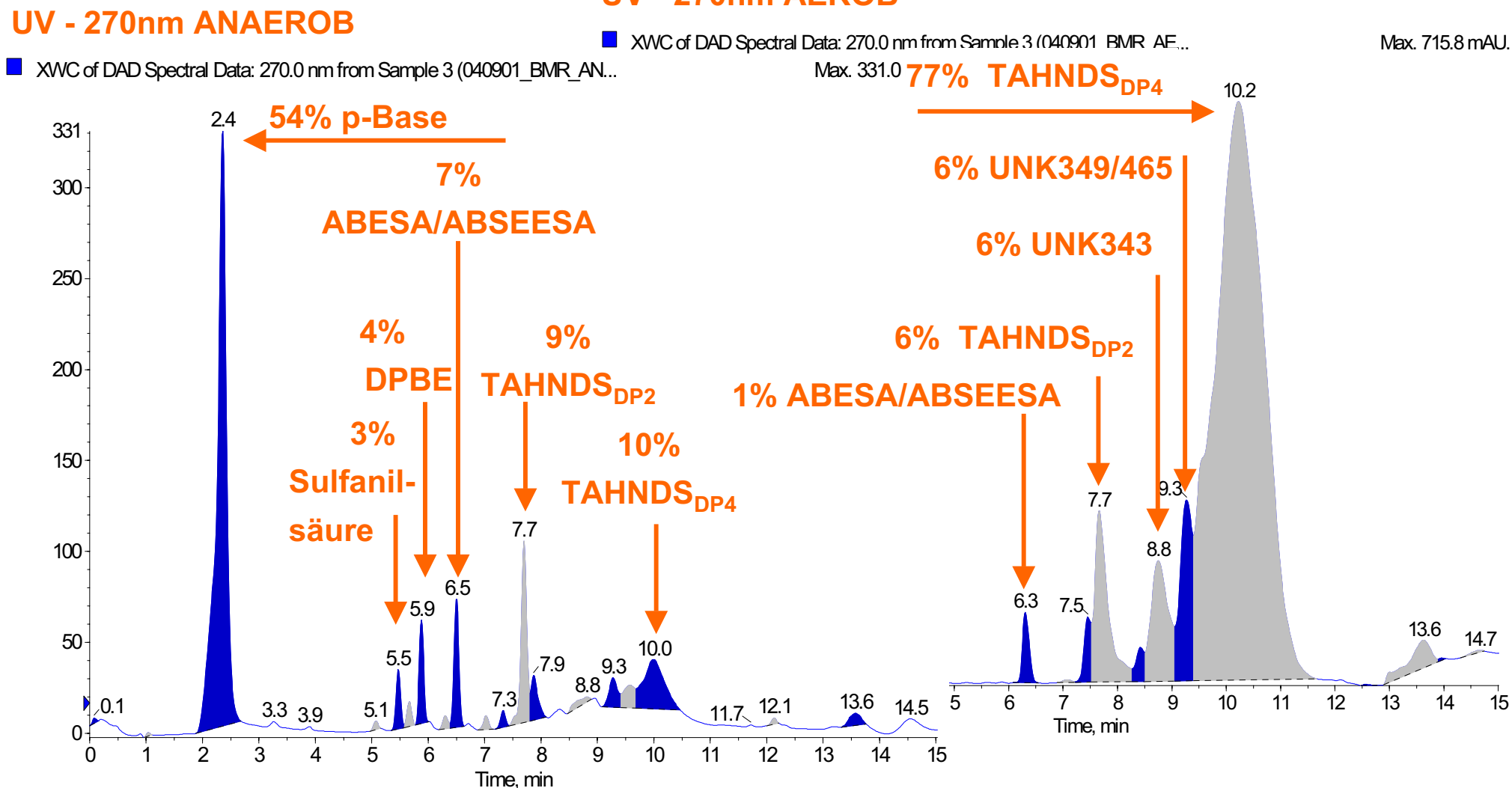






Stoffspezifische Anteile an spektraler Extinktion im UV-Bereich

UV - 270nm AEROB





Anaerobe/Aerobe Abbaubarkeit von Feed-Haupt- und Nebenkomponenten

+ vorhanden/ gut abbaubar	Verbindung	RT	<i>m/z</i> Q1	m/z Q3	Feed	AN	AE	Anaerobe Abbaubarkeit	Aerobe Abbaubarkeit
- nicht gefunden/	NAPB	4,0	241,9	132,9	+	+	+	-	+
schlecht abbauba	uNK384	5,5	384,2	275,2	+	+	+	-	+
~ Schwankende	PBSE	6,1	280,2	171,2	+	+	+	-	+
Abbaubarkeit	UNK145	7,0	145,1	65,0	+	+	+	+	+
Abbudburken	RB-OH	8,5	264,5	79,9	+	+	+	+	+
	RB5-H	8,8	370,5	370,5	+	+	+	+	-
	RB5-H+DPBE	8,9	925,2	861,2	+	+	-	+	-
	RB-NH2	9,2	530,0	316,9	+	+	-	+	-
Farbige 🗸	RB5-H-H2O	9,2	723,9	660,0	+	+	-	+	-
Verbidungen	RB5-H+SO ₂	9,4	806,0	236,0	+	+	-	+	-
	Di-RB5-H	9,7	1467,4	927,4	+	-	-	+	-
	UNK733	9,9	733,0	236,0	+	+	-	+	-
	RB5-H-2H ₂ O	10	705,9	642,0	+	+	-	+	-
Nicht	ABSEESA	6,4	307,9	124,9	+	+	+	-	-
abbaubar	ABSESA	6,6	264,2	81,2	+	+	+	-	~





Anaerob/aerobe Abbaubarkeit von Intermediaten

- + vorhanden/gut abbaubar
- nicht vorhanden/abbaubar
- schwankendeAbbaubarkeit

								anaerobic	aerobic
	Compound	RT	<i>m</i> /z Q1	<i>m</i> /z Q3	Feed	AN	AE	degradability	degradability
	p-Base	2,4	200		-	+	+	-	+
	DPBE	4,5	383,0	383	-	+	+	-	+
	Sulfanilsäure	5,2	171,8	79,9	-	+	+	-	+
	VPB	5,2	183,0	183	-	+	-	-	+
	HABSA	6,4	188,2	96,2	-	+	+	-	+
	RB5-H-PB	6,5	545,0	264,0	-	+	+	+	+
	UNK371	7,9	371,2	183,2	-	+	+	-	+
	UNK584	9,1	584,2	424,2	-	+	-	-	+
	UNK661	9,4	661,0	501,0	-	+	+	-	+
	UNK373	10,1	373,2	293,2	-	+	+	~	+
	TAHNDS _{DP3}	8,1	347,9	188,1	+	+	-	-	~
	RB5-H-PB	8,3	545,0	264,0	-	+	+	+	~
	TAHNDS _{DP3}	8,9	347,9	188,1	-	+	+	~	~
	UNK386	7,8	358,0	278,0	-	+	+	~	~
П	TAHNDS _{DP2}	7,9	346,9	187,1	-	+	+	-	-
П	TANHDS _{DP1}	8,1	345,9	186,1	-	+	-	-	-
П	UNK543	8,4	543,1	463,1	-	+	+	-	-
	TAHNDS _{DP4}	10,4	348,9	189,1	-	+	+	-	-

Nicht abbaubar





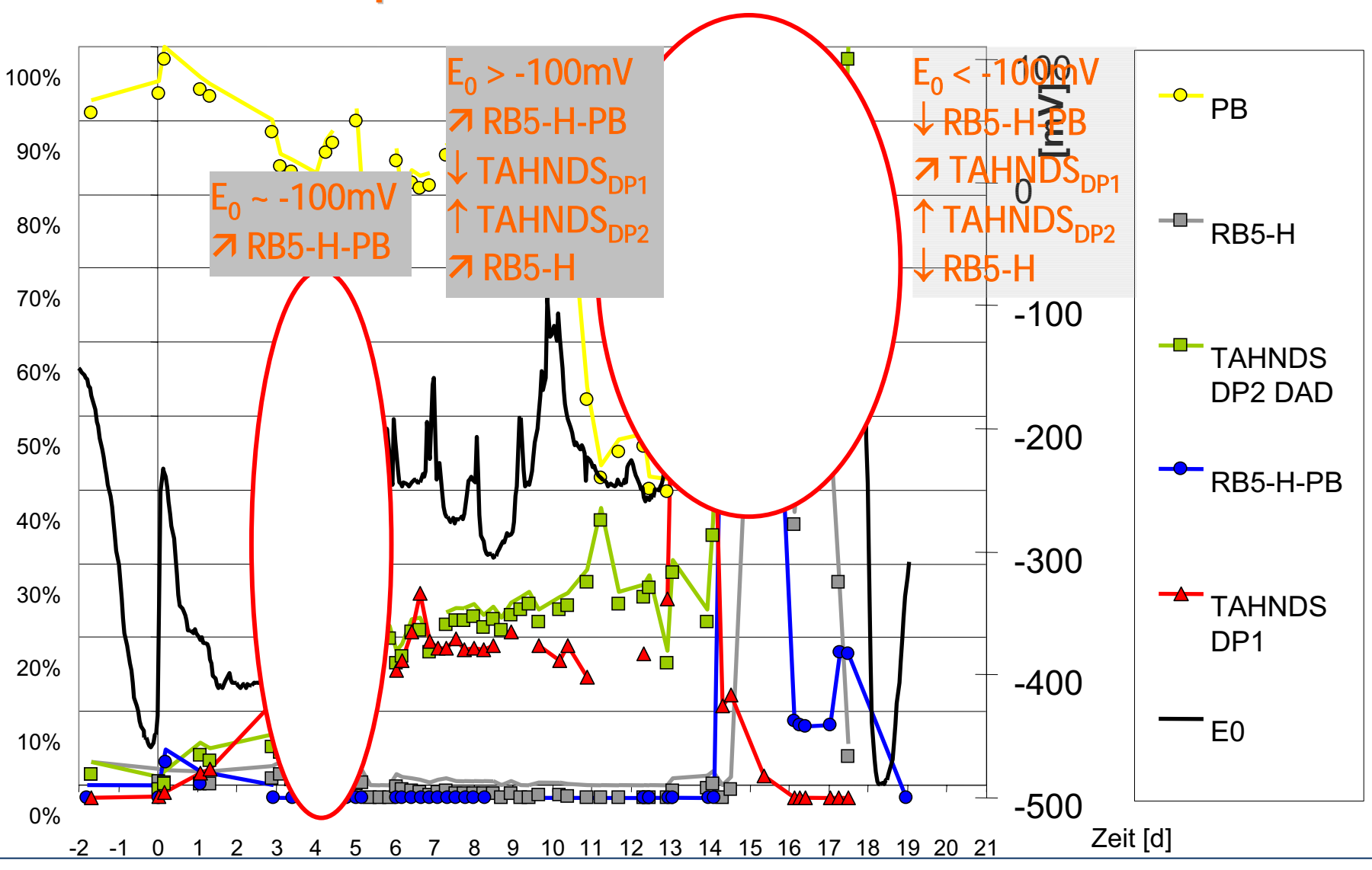
Primäre Verursacher von Rückverfärbungen nach aerober Behandlung

- Meist hochsubstituierte aromatische Verbindungen (Naphthalinderivate)
- Anionisch durch ein bis mehrere Sulfonsäuregruppen
- Nebenkomponenten aus Farbstoff und auch Abbauprodukte der Farbstoffe





Einfluss des Redoxpotenzials auf die anaerobe Reduktion

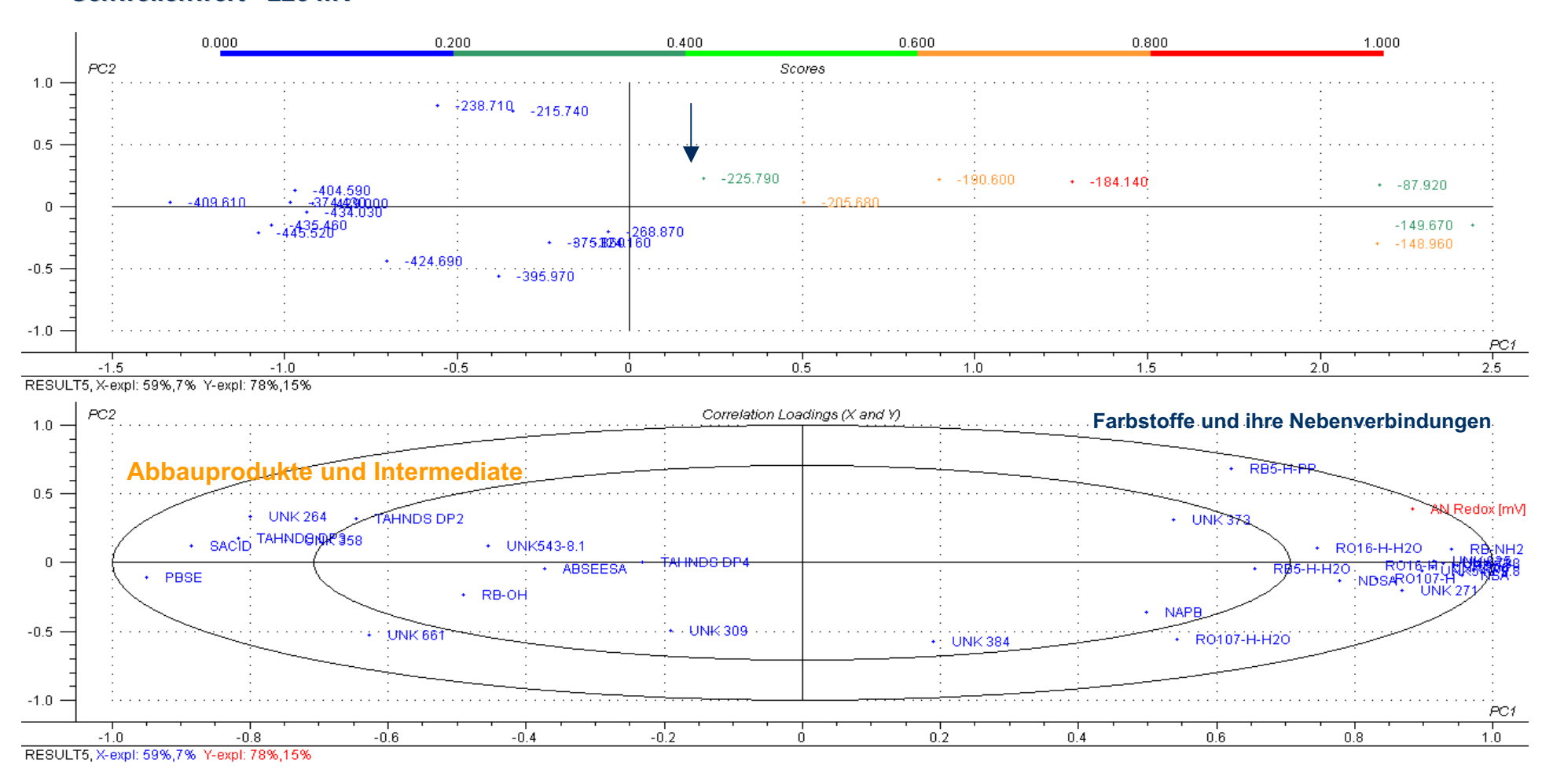






Einfluss des Redoxpotentials auf den Abbau von C. I. Reactive Black 5 im anaeroben Reaktor

Schwellenwert -225 mV

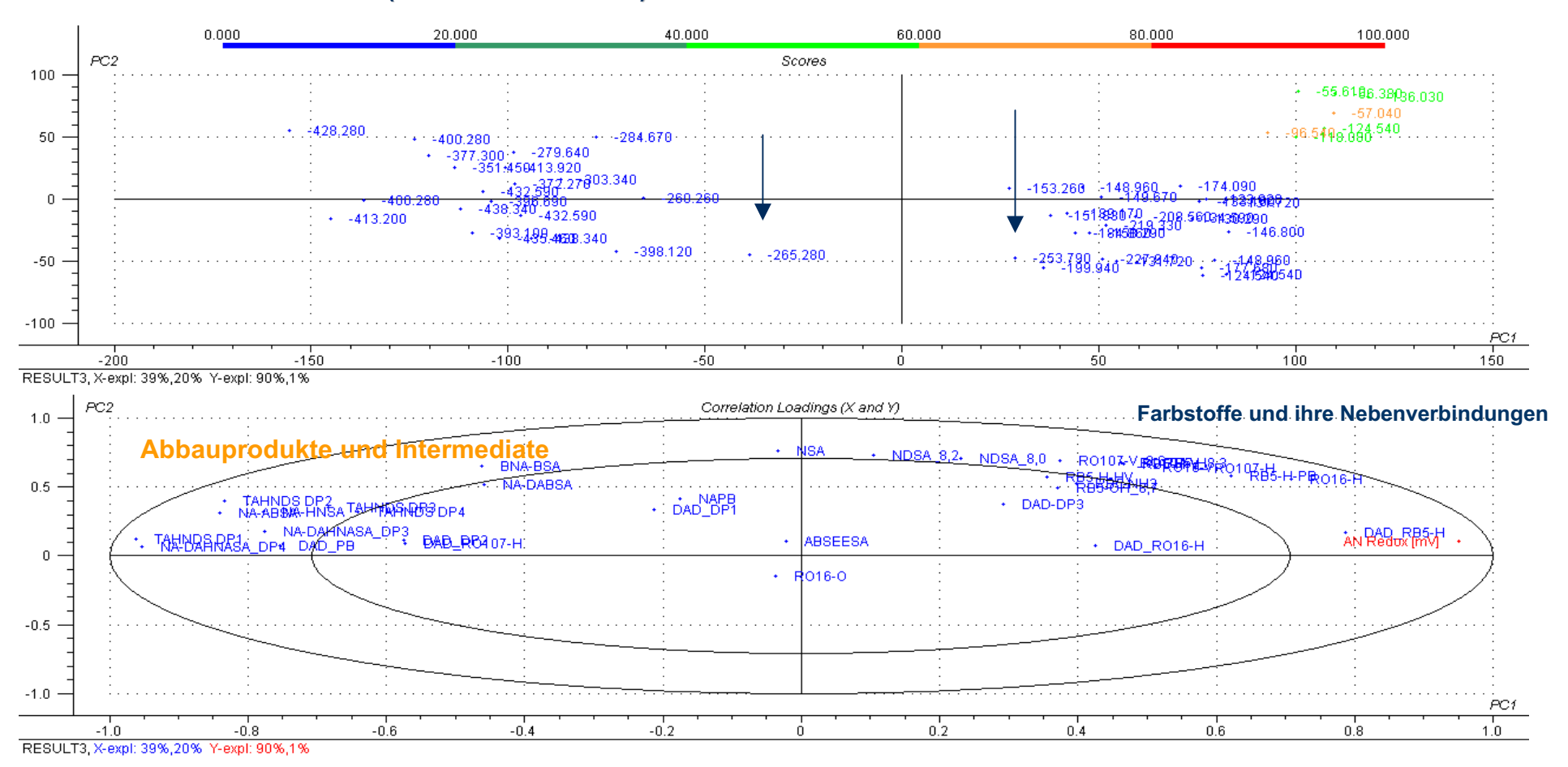






Einfluss des Redoxpotentials auf den Abbau von Navy Blue im anaeroben Reaktor

Schwellenwert: -255 mV (Trichromie-Versuch)

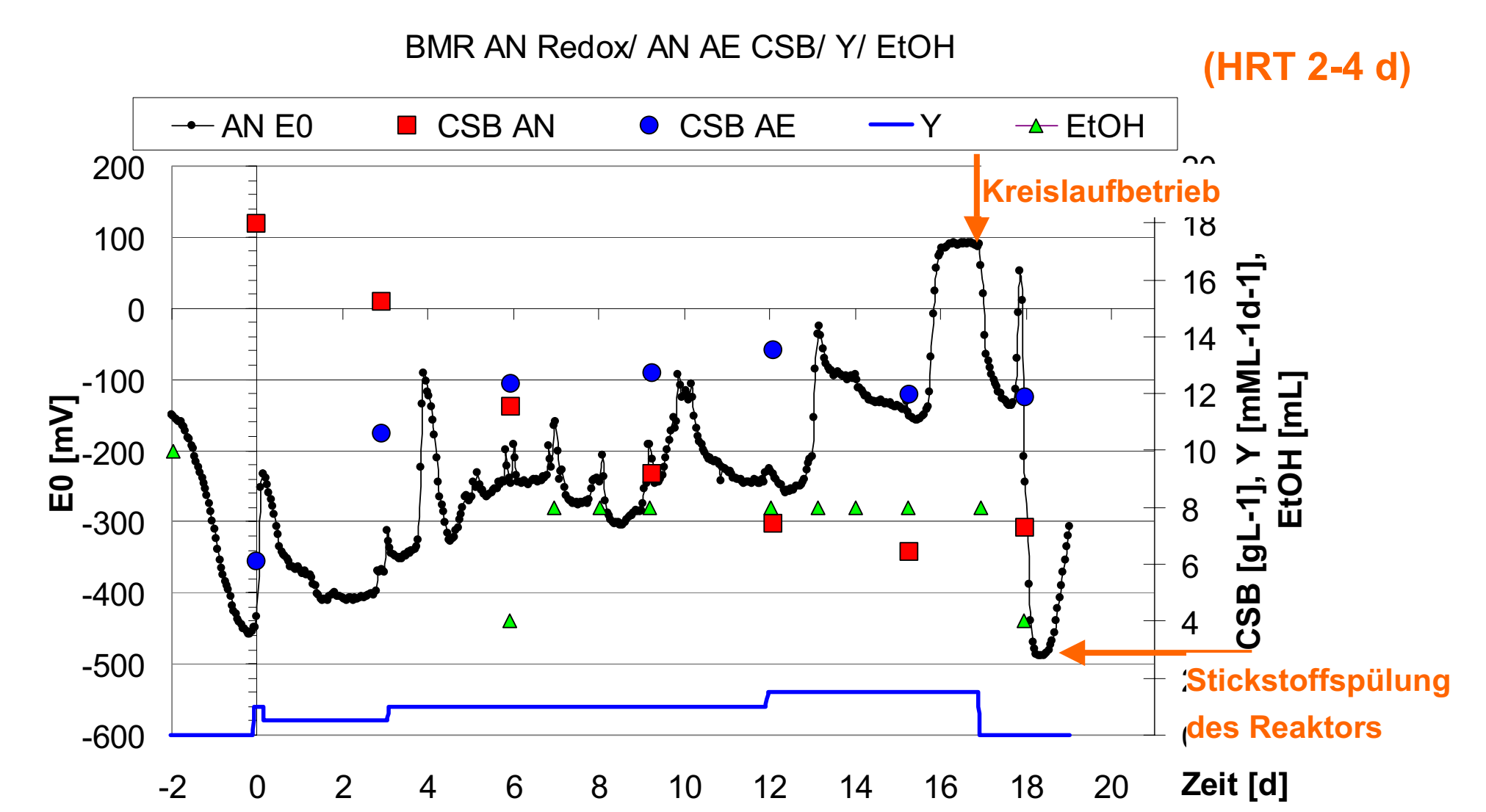


Partial Least Square (PLS-1), The Unscrambler® v9.2





Abhängigkeit des Redoxpotenzials von Ethanolgaben







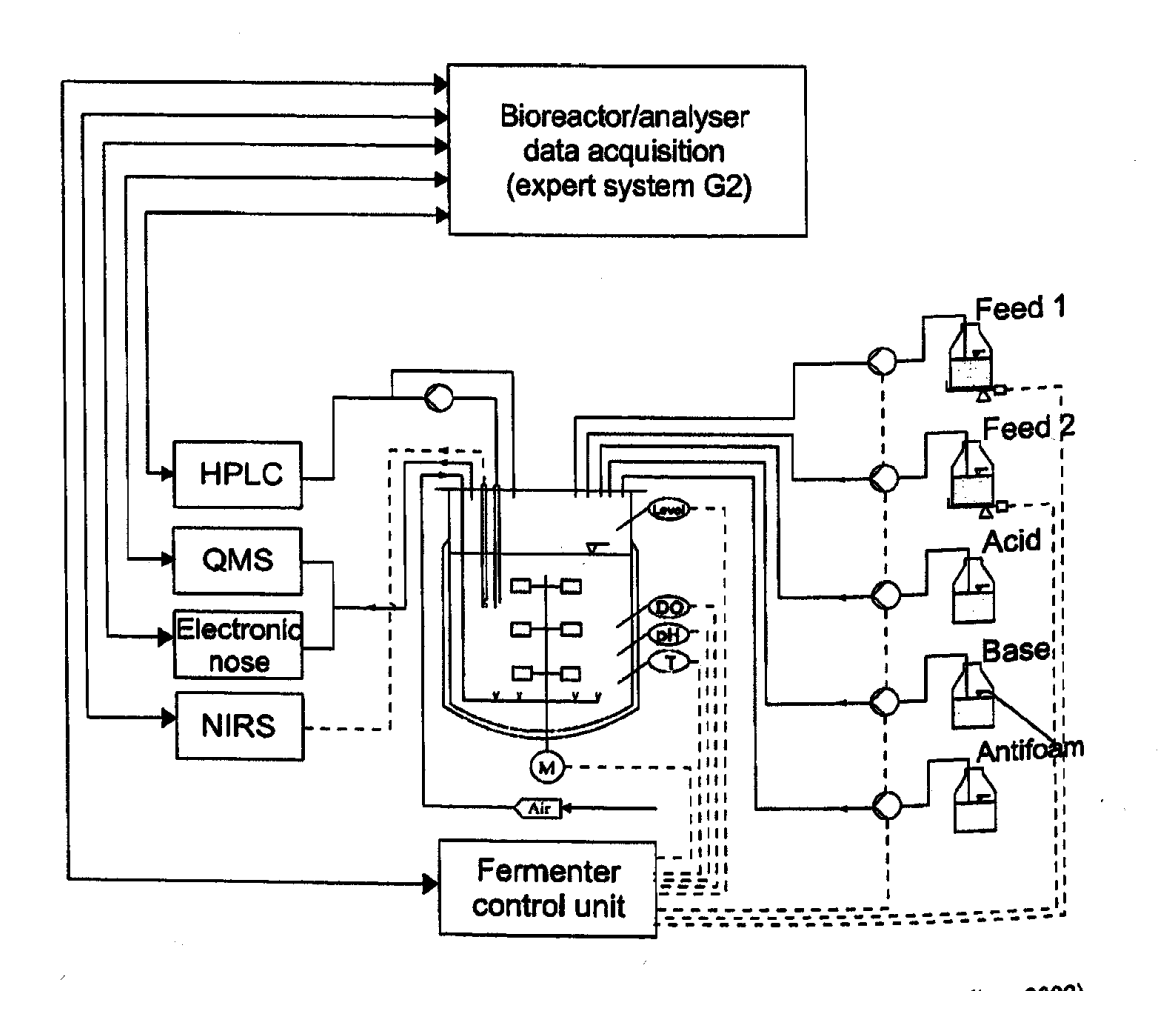
Ergebnisse Monitoring und Optimierung der Betriebsparameter

- Die anaerobe Reduktion korreliert mit dem Redoxpotenzial steuern!
- Unvollständige Reduktion von Diazo-Farbstoffen bei Redoxpotenzialen > -100mV
- Autoxidation von Intermediat TAHNDS_{DP1} zu TAHNDS_{DP2/DP3/DP4}
- Raumbelastungen von 0,5-1,5 mML-1d-1 werden bei $E_0 < -100$ mV ausreichend reduziert, 1,5 5 mM -1d-1 benötigen $E_0 < -250$ mV
- Beurteilung des stoffspezifische Abbauverhaltens über Online-LC-DAD MS Monitoring und Identifizierung der Verursacher von Restfarbtigkeit





Online monitoring of a bioprocess based on a multi-analyser system and multivariate statistical process modelling



Christian Cimander

Linköping University, Sweden

<u>Carl-Frederic Mandenius</u> Novozymes Biopharma AB, Sweden

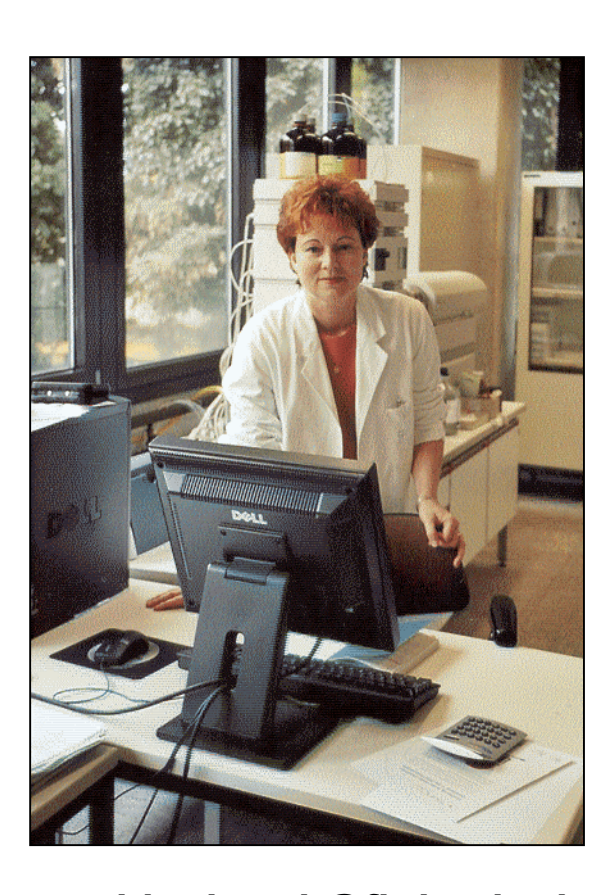
J. Chem. Technol. Biotechnol. 77, 1157-1168, 2002







Arbeitskreis Chemische Verfahrens- und Prozessanalysentechnik an der FH Köln



astrid.rehorek@fh-koeln.de

Danke für Ihre Aufmerksamkeit!